

H<sup>m</sup>制御理論による地震外力を受ける構造物の振動制御

長崎大学工学部 学生員○小松正貴  
長崎大学大学院 学生員 山本 実

長崎大学工学部 正員 岡林隆俊  
オイレス工業(株) 正員 下田郁夫

## 1. はじめに

構造物の高層化・長大化に伴って、地震、風などの不規則外力による振動制御が問題になっている。一般に、構造物は高次の自由度から形成されているが、制御系の設計を行うためには、低次元化した制御モデルを考える必要がある。しかし、低次元化したモデルで制御系の設計を行うと、無視された高次のモードの影響によりスピルオーバー問題が生じる。H<sup>m</sup>制御理論は、フィルターの状態方程式を組み込むことによってスピルオーバー問題を抑制できることが知られている。本研究は、H<sup>m</sup>制御理論<sup>(1)</sup>を用いることにより、レギュレータ理論による制御<sup>(2)</sup>と比較して、どの程度構造物の応答が低減させられるかをシミュレーションにより検討したものである。

## 2. 制御対象構造物

制御対象とする構造物は、図-1のような5層の骨組み構造物である。これを5質点系にモデル化し、3次まで振動を制御する。このモデルの解析と実測による振動数、および減衰定数を表-1に示した。振動モードはすでに文献<sup>(3)</sup>において報告している。

3. H<sup>m</sup>制御理論による最適フィードバックゲイン

構造系の運動方程式は、状態空間表示すると、(1)式のような状態方程式がえられ、5質点目を観測するとすれば、観測量は、(2)式のように表される。

$$\dot{\mathbf{X}}_r(t) = \mathbf{A}_r \mathbf{X}_r(t) + \mathbf{B}_r \mathbf{w}(t) + \mathbf{D}_r \mathbf{u}(t) \quad (1)$$

$$\mathbf{r}(t) = \mathbf{C}_r \mathbf{X}_r(t) \quad (2)$$

ここに、 $\mathbf{X}_r(t)$ は、基準座標から構成される状態変数ベクトル

$$\mathbf{X}_r(t) = [q_1 \quad \dot{q}_1 \quad q_2 \quad \dot{q}_2 \quad q_3 \quad \dot{q}_3]^T \quad (3)$$

である。

次に、制御量の周波数形成をするフィルターの方程式を、次式で表し、それぞれを、 $W_1(s)$ 、 $W_2(s)$ とする。

$$\begin{cases} \ddot{\nu}_1 + 2\zeta_1\Omega_1\dot{\nu}_1 + \Omega_1^2\nu_1 = k_{11}\Omega_1 r(t) \\ z_1 = \Omega_1\nu_1 \end{cases} \quad (4)$$

$$\begin{cases} \ddot{\lambda}_1 + 2\zeta_2\Omega_2\dot{\lambda}_1 + \Omega_2^2\lambda_1 = k_{12}u(t) \\ z_2 = \lambda_1 + 2\zeta_3\Omega_3\dot{\lambda}_1 + \Omega_3\lambda_1 \end{cases} \quad (5)$$

各フィルターを図-2に示した。 $\Delta P$ は、5自由度系の構造物と3自由度系の制御系との誤差である。

フィルターの方程式を含む拡大系の状態空間表現は、次のようになる。

$$\dot{\mathbf{x}}(t) = \mathbf{A}\mathbf{x}(t) + \mathbf{B}_1 w(t) + \mathbf{B}_2 u(t) \quad (6)$$

$$\mathbf{z}(t) = \mathbf{C}_1 \mathbf{x}(t) + \mathbf{D}_{12} u(t) \quad (7)$$

$$\mathbf{y}(t) = \mathbf{C}_2 \mathbf{x}(t) \quad (8)$$

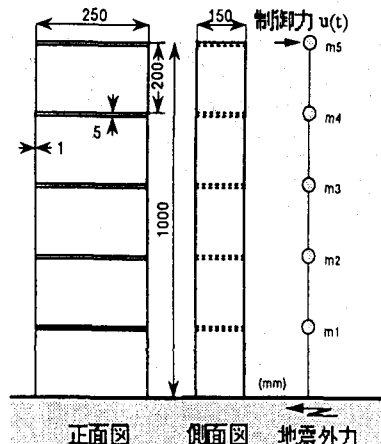
ここで、 $\mathbf{x}(t) = [\mathbf{X}_r \quad \nu(t) \quad \lambda(t)]^T$ 、 $\nu(t) = [\nu_1 \quad \nu_2]^T$

$$\lambda(t) = [\lambda_1 \quad \lambda_2]^T$$

$$\mathbf{w}(t) = [0 \quad 1 \quad 0 \quad 1 \quad 0 \quad 1 \quad 0 \quad 1]^T \cdot \mathbf{w}(t)$$

$$\text{制御量: } \mathbf{z}(t) = [z_1 \quad z_2]^T$$

$$\text{観測量: } \mathbf{y}(t) = [y_5(t) \quad \nu(t) \quad \lambda(t)]^T$$



正面図 側面図 地震外力

図-1 構造物模型と制御モデル

表-1 構造物模型の振動特性

振動次数	固有振動数 (Hz)			減衰定数
	有限要素法	5質点系	実測値	
1次	2.369	2.430	2.390	0.0064
2次	7.247	7.290	7.520	0.0050
3次	11.98	12.01	12.70	0.0045
4次	15.90	15.92		
5次	18.47	18.48		

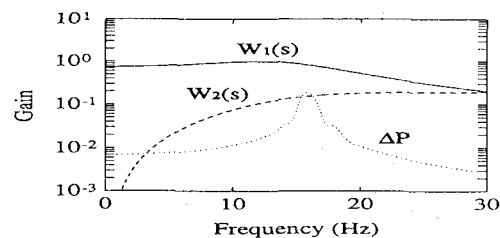


図-2 フィルターの構成

(6)、(7)、(8)式のような系に対して、(9)式のような $H^\infty$ ノルムを満足するような $\gamma$ を定め最適フィードバックゲイン $\mathbf{F}$ を決定する考え方が、 $H^\infty$ 制御理論である。

$$\left\| \mathbf{W}_1(s)\mathbf{M}(s)/\gamma \right\| < 1 \quad (9)$$

$$\mathbf{W}_2(s)\mathbf{N}(s) = 0 \quad (10)$$

$$u(t) = \mathbf{F}x(t) \quad (10)$$

ここで、 $\mathbf{W}_1(s)$ 、 $\mathbf{W}_2(s)$ は、それぞれ低周波数域、高周波数域で高ゲインを持つ重み関数で、 $\mathbf{M}(s)$ 、 $\mathbf{N}(s)$ は、それぞれ外乱から制御量と制御力までの伝達関数である。また、このときの最適フィードバックゲインは、次のリカッチ方程式の正定解 $\mathbf{P}$ を求めることにより決まる。

$$\begin{aligned} \mathbf{A}_t^T \mathbf{P} + \mathbf{P} \mathbf{A}_t + \mathbf{P} (\mathbf{B}_1 \mathbf{B}_1^T / \gamma^2 - \mathbf{B}_2 \mathbf{B}_2^T) \mathbf{P} \\ + \mathbf{C}_1^T (\mathbf{I} - \mathbf{D}_{12} \mathbf{D}_{12}^T) \mathbf{C}_1 + \varepsilon \mathbf{I} = 0 \end{aligned} \quad (11)$$

$$\mathbf{F} = -\mathbf{B}_2^T \mathbf{P} - \mathbf{D}_{12}^T \mathbf{C}_1 \quad (12)$$

#### 4. 数値解析と考察

構造物に作用させる外力として、図-3に示すようなEl Centro地震の加速度波形を用いた。制御なしと、レギュレータ理論により制御をかけた場合の5層の速度応答を図-4に示した。実線が制御をかけた場合である。また、図-5に破線で示したものが、この理論により制御をかけた場合の周波数応答である。点線の制御なしの場合に比べると、1次、2次、3次の振動数付近のピークがカットされている。

次に、周波数形成を考えた $H^\infty$ 理論による制御を行った。この場合、任意に決めるパラメータ $\gamma$ 、 $\varepsilon$ があるが、これらの最適値を決め、その結果をレギュレータ理論の場合と合わせて、図-5と図-6の(a)に示した。 $\gamma$ -Iterationにより、 $\gamma$ を求めた結果 $\gamma=1$ が最適値であることが分かった。次に $\varepsilon$ を変化させ応答を見ると、 $\varepsilon$ を大きくすると制御効果が大きくなることが分かった。しかし、 $\varepsilon$ は制御力に関係しているので $\varepsilon$ を大きくすることはできない。

図-5は、 $\gamma=1$ 、 $\varepsilon=0.95$ のときの周波数応答と時刻歴応答を示したものである。周波数応答では3次振動に対する制御がかかっていない。そこで、 $\gamma=1$ として $\varepsilon=5.0$ とした結果を図-6に示した。(a)から分かるように、3次振動のレベルが低下し、制御ができていることが分かる。また、時刻歴応答も $\varepsilon$ を大きくすると小さくなっている。

#### 5. まとめ

$H^\infty$ 理論による制御の効果を調べた。 $\gamma$ と $\varepsilon$ の選定によって、制御効果が変化する。 $H^\infty$ 制御の効果がシミュレーションにより明らかになった。

[参考文献] (1) 美多、電気学会誌、1990、pp649-pp652.

(2) 入門現代制御理論 啓学出版 (3) 奥松ら、土木学会 第47回概要集、1992、pp544-545.

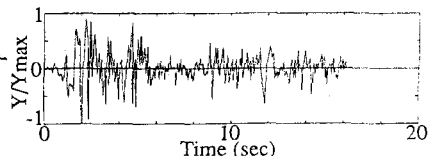


図-3 地震外力

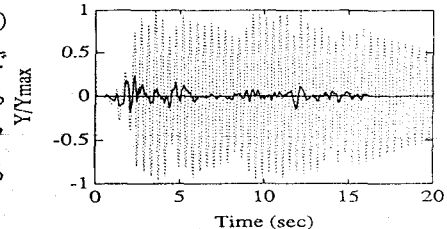


図-4 5層速度応答波形

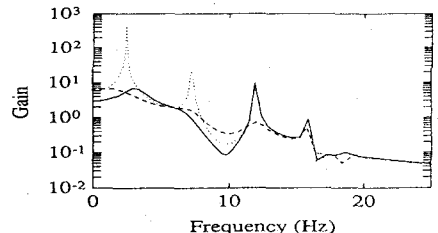


図-5 (a)  $\gamma = 1 \quad \varepsilon = 0.95$

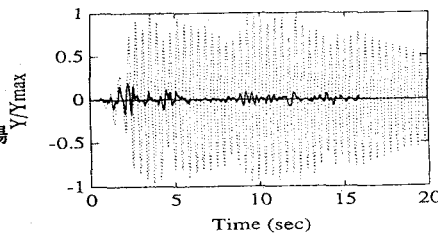


図-5 (b)  $\gamma = 1 \quad \varepsilon = 0.95$

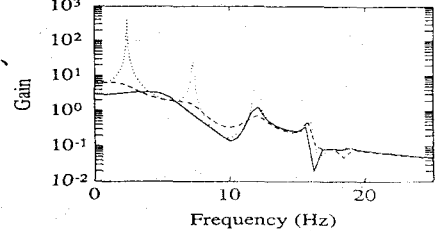


図-6 (a)  $\gamma = 1 \quad \varepsilon = 5.0$

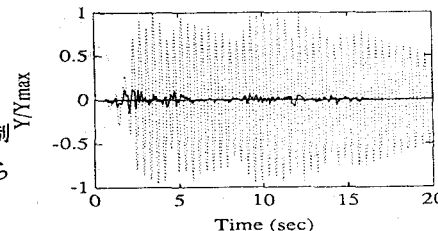


図-6 (b)  $\gamma = 1 \quad \varepsilon = 5.0$